

TD 4: Écoulements visqueux.

(1)

4.1 Écoulement visqueux sur plan incliné

1.
$$\rho(\partial_t u_x + u_x \partial_x u_x + u_y \partial_y u_x) = -\partial_x p + \eta(\partial_{xx}^2 + \partial_{yy}^2)u_x + \rho g \sin \beta$$
$$\rho(\partial_t u_y + u_x \partial_x u_y + u_y \partial_y u_y) = -\partial_y p + \eta(\partial_{xx}^2 + \partial_{yy}^2)u_y - \rho g \cos \beta$$
$$\partial_x u_x + \partial_y u_y = 0$$

2. FOND = adhérence sur surface au repos.

$$u_x|_{y=0} = 0$$

$$u_y|_{y=0} = 0$$

SURFACE LIBRE = impénétrable et condition dynamique

$$u_y|_{y=h} = 0$$

$$\partial_y u_x|_{y=h} = 0$$

$$p|_{y=h} = p_0$$

3. Ici $u_y = 0$ partout, $\partial_x u_x = 0$, $\partial_t u_x = 0$
Ainsi il reste à résoudre

$$0 = -\partial_x p + \eta \partial_{yy}^2 u_x + \rho g \sin \beta$$

$$0 = -\partial_y p - \rho g \cos \beta$$

On comprend que (2) suggère

$$p = C(x) - \rho g \cos \beta y$$

Avec la CL sur la pression $p|_{y=h} = p_0$

$$\Rightarrow p = p_0 + \rho g \cos \beta (h - y)$$

Ainsi la pression semble indépendante de x .

$$\Rightarrow \partial_x p = 0.$$

Pour trouver u_x , il reste à résoudre

$$0 = \eta \partial_{yy}^2 u_x + \rho g \sin \beta$$

ce qui donne avec $\nu = \eta / \rho$ la viscosité cinématique

$$u_x = - \frac{g \sin \beta}{\nu} \frac{y^2}{2} + Ay + B$$

On impose les 2 CL's. Sur le fond $u_x|_{y=0} = 0$

$$\Rightarrow B = 0$$

Sur la surface libre $\partial_y u_x|_{y=h} = 0$

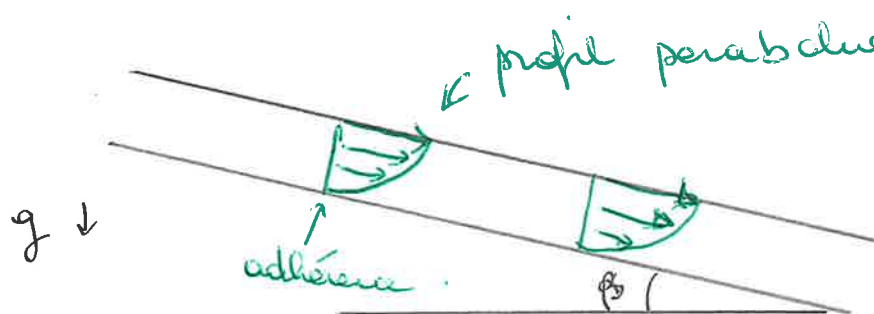
$$\Rightarrow 0 = - \frac{g \sin \beta}{\nu} h + A$$

$$\Rightarrow A = \frac{g \sin \beta}{\nu} h$$

Solution u_x

$$u_x = \frac{g \sin \beta}{\nu} \left(hy - \frac{y^2}{2} \right)$$

4. Schéma



profil parabolique, max en $y=h$
car $\partial_y u_x|_{y=h} = 0$.

5. On calcule Q débit. Si L est la section transversale (longueur selon z) alors (3)

$$Q = L \int_0^h u_x(y) dy$$

$$= L \int_0^h \frac{\rho g \sin \beta}{\nu} \left(hy - \frac{y^2}{2} \right) dy$$

$$= L \frac{\rho g \sin \beta}{\nu} \left[\frac{h y^2}{2} - \frac{y^3}{6} \right]_0^h$$

$$= L \frac{\rho g \sin \beta}{\nu} \left[\frac{h^3}{2} - \frac{h^3}{6} \right] \quad \frac{1}{2} - \frac{1}{6} = \frac{2}{6} = \frac{1}{3}$$

$$\Rightarrow Q = \frac{L h^3 \rho g \sin \beta}{3 \nu}$$

Ainsi

$$h = \left(\frac{3 \nu Q}{L \rho g \sin \beta} \right)^{1/3}$$

\Rightarrow on peut prédire la hauteur de liquide qui se formera sur la plaque si on fournit ν , Q , L , ρ et β .

6. La contrainte visqueuse sur la plaque. du bas

$$\vec{\tau}^{(v)} \cdot \vec{e}_y \Big|_{y=0} = \tau_{xy}^{(v)} \vec{e}_x + \tau_{yy}^{(v)} \vec{e}_y$$

↓
normale
de la plaque

$$\tau_{xy}^{(v)} \Big|_{y=0} = \eta \left(\cancel{\partial_x u_y} \Big|_{y=0} + \partial_y u_x \Big|_{y=0} \right) \quad u_y=0$$

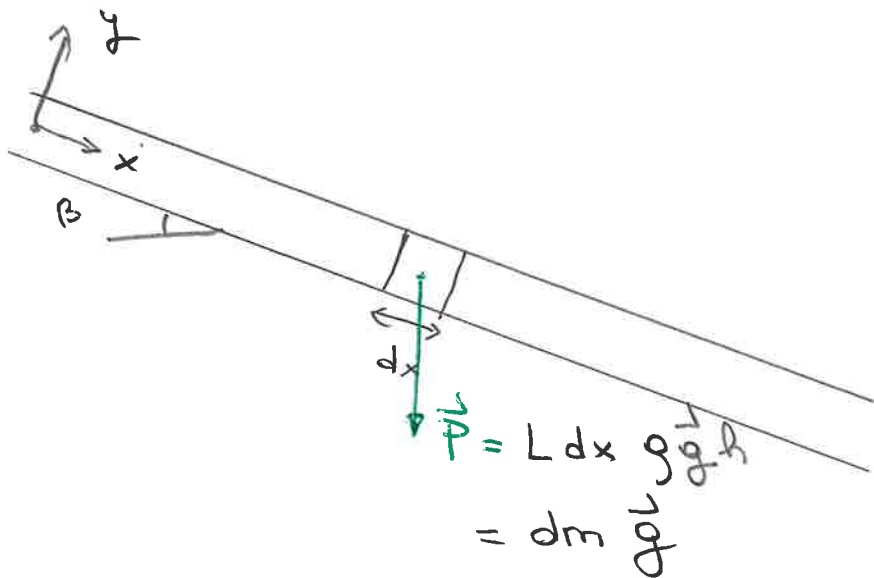
$$\tau_{yy}^{(v)} \Big|_{y=0} = 2\eta \cancel{\partial_y u_y} \Big|_{y=0} \quad u_y=0$$

Uniquement contrainte tangentielle

$$\tau_{xy}^{(v)} \Big|_{y=0} \vec{e}_x = \eta \, g \frac{\rho}{\nu} \partial_y \left(h y - \frac{y^2}{2} \right) \Big|_{y=0}$$

$$= g h \rho \eta$$

On remarque que cette contrainte est indépendante de la viscosité η . Interprétation ?



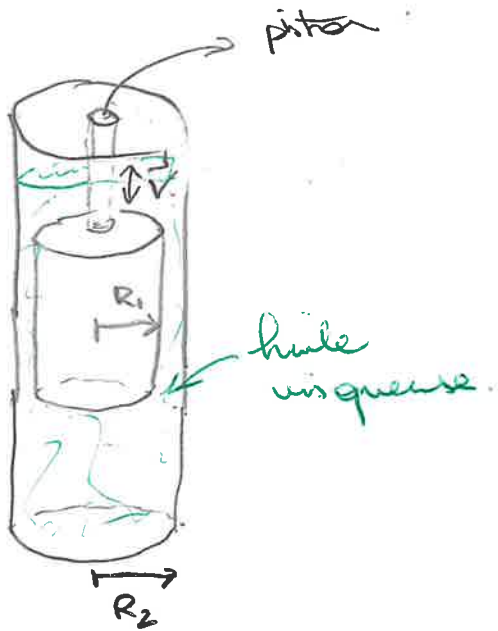
$$\vec{P} = L dx \, \rho g h \vec{e}_y = dm \, \vec{g}$$

$$= g dm (\sin \beta \vec{e}_x - \cos \beta \vec{e}_y)$$

$$\tau_{xy}^{(v)} \Big|_{y=0} dx L = g dm \sin \beta \Rightarrow \text{compense le poids en dir } x.$$

4.2 Amortisseur à effet visqueux.

(5)



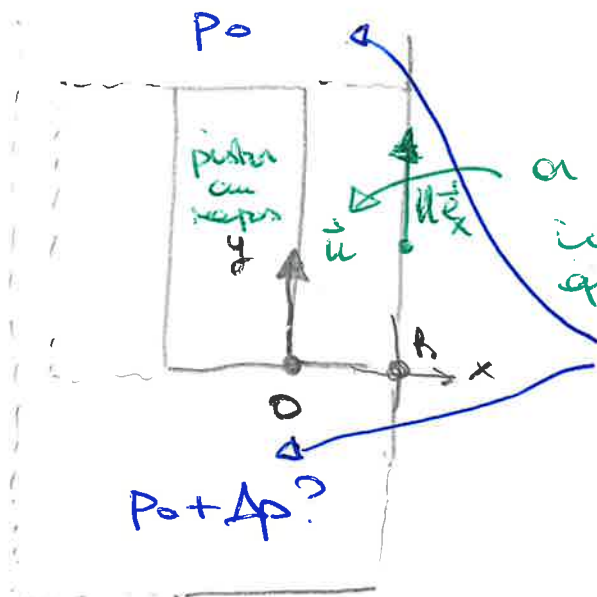
la vitesse V du piston est ralentie par une force de friction.

$$\vec{F} = -\alpha \vec{V}$$

que vaut ce α .

Q: α dû aux contraintes visqueuses ?
ou dû à la pression ?

On se place ds le référentiel du piston et on suppose l'entrefer $R_2 - R_1 = h \ll R_1$ ou R_2 . Cela permet d'ignorer les effets de courbure (cylindrique). On utilise un système de coordonnées locale, attaché sur le bord du piston.



on est intéressé par l'écoulement ici. En $x=h$, on a une paroi qui se déplace $u \vec{e}_x$. En $x=0$, piston au repos. ici on veut seulement connaître la pression. En haut on suppose $p=p_0$ d'ailleurs

$$\Delta p?$$

$$\underline{1.} \quad \rho (\partial_t u_x + u_x \partial_x u_x + u_y \partial_y u_x) = -\partial_x p + \eta (\partial_{xx}^2 + \partial_{yy}^2) u_x \quad (6)$$

Dans l'étréfer on a en bonne approx.

$$\vec{u} \approx u_y(x) \vec{e}_y$$

Ainsi il reste

$$0 \approx -\partial_x p \Rightarrow p = p(y)$$

La pression ne varie que selon y .

2. Selon y

$$\cancel{\rho (\partial_t u_y + u_x \partial_x u_y + u_y \partial_y u_y)} = \cancel{-\partial_y p} + \eta (\partial_{xx}^2 + \cancel{\partial_{yy}^2} u_y)$$

start.
invar selon $u_x=0$
invar selon y
eh non or doit se garder (style)!!

invar.

On doit bien garder $-\partial_y p$ Mes examens.

$$0 \approx -\partial_y p + \eta \partial_{xx}^2 u_y \quad (*)$$

Les CL pour u_y sont.

$$u_y|_{x=0} = 0$$

$$u_y|_{x=h} = U$$

(Δ réf. pnfon)

3. Comme $\partial_y p$ ne dépend pas de x , on peut intégrer $(*)$ selon x .

$$u_y = \underbrace{(\partial_y p)}_{\eta} \frac{x^2}{2} + Ax + B$$

(7)

Avec la CL en $x=0$, $u_y|_{x=0}=0$ or a

$$\exists = 0$$

Avec la CL en $x=h$, $u_y|_{x=h} = U$

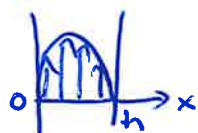
$$U = \frac{(\partial_y p)}{2\eta} h^2 + Ah$$

$$\Rightarrow A = - \frac{(\partial_y p)}{2\eta} h + \frac{U}{h}$$

Ainsi

$$u_y = \underbrace{\frac{\partial_y p}{2\eta} x(x-h)}_{\text{Poiseuille}} + \underbrace{\frac{U}{h} x}_{\text{Couette (plan)}}$$

Poiseuille

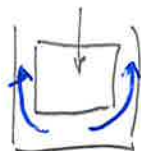


Couette (plan)



⚠ On ne connaît pas encore $\partial_y p$. L'écoulement n'est donc pas encore parfaitement connu.

Le mouvement du piston injecte de la matière dans l'entrefer



\Rightarrow Débit dans l'entrefer corrélié à U

4. On utilise la formule approximative pour calculer Q_v .

(8)

$$Q_v = 2\pi \underbrace{R_1}_{\text{ou } R_2} \int_0^h u_y(x) dx$$

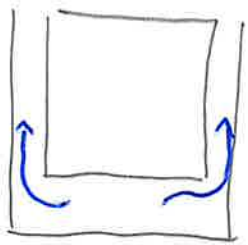
$$= 2\pi R_1 \int_0^h \left[\left(\frac{\partial y p}{\partial \eta} \right) (x^2 - hx) + \frac{U}{h} x \right] dx$$

$$= 2\pi R_1 \left[\left(\frac{\partial y p}{\partial \eta} \right) \left(\frac{h^3}{3} - \frac{h^3}{2} \right) + \frac{Uh}{2} \right]$$

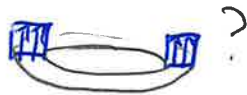
$-\frac{h^3}{6}$

$$= 2\pi R_1 \left[- \left(\frac{\partial y p}{12\eta} \right) h^3 + \frac{Uh}{2} \right]$$

5.



le débit injecté dans l'entrefer



$$\underbrace{\pi R_1^2 U}_{\text{debit crée}} = Q_v$$

debit crée
par le déplacement
du piston
à vitesse
 U

Ici R_1 ou R_2

$$\cancel{\pi R_1^2} U = \cancel{2\pi R_1} \left[-\frac{\partial_y p}{12\eta} h^3 + \frac{U h}{2} \right]$$

$$\Rightarrow \partial_y p = -\frac{6\eta U R_1}{h^3} + \frac{6\eta U}{h^2}$$

\downarrow
 terme dominant car

$$\frac{R_1}{h^3} \gg \frac{1}{h^2}$$

sous les hypothèses que nous nous sommes données.

En bonne approx, on a donc.

$$\partial_y p \approx -\frac{6\eta U R_1}{h^3}$$

6. Intégration

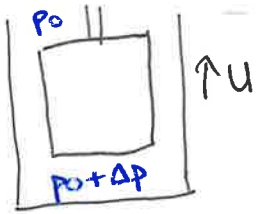
$$p(y) \approx -\frac{6\eta U R_1}{h^3} y + C$$

Avec $p(l) = p_0$ et $p(0) = p_0 + \Delta p$ on a

$$p(y) \approx p_0 + \frac{6\eta U R_1}{h^3} (l - y).$$

Le mouvement crée une surpression

$$\Delta p = \frac{6\eta U R_1}{h^3} l \quad \text{dans le bas.}$$



Signe ok : le fluide du bas est comprimé si $U > 0$

$$\Rightarrow \Delta P > 0$$

7. Cette compression crée une force vers le haut

$$F_p = \Delta P \pi R_1^2$$

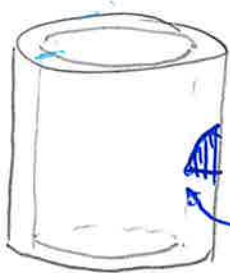
$$= 6\pi \eta U l \frac{R_1^3}{h^3} = \alpha U$$

↓
forte dépendance avec $\frac{h}{R_1}$

Cette force a le bon signe car si la paroi se déplace à vitesse $+U$ alors le piston à vitesse $V = -U$ is la référence de l'écoulement

$$\Rightarrow F_p = - \alpha V$$

8. Les contraintes visqueuses peuvent contribuer aussi à la force.



Force visqueuse constante ici

$$\tau_{yx}^{(v)} \Big|_{x=0} = \eta \partial_x u_y \Big|_{x=0}$$

$$= \eta \left(\frac{\partial_y P}{2\eta} (-h) + \frac{U}{h} \right)$$

la force visqueuse supplémentaire sera donc

$$F_v = \sigma_{yx}^{(v)} \Big|_{x=0} \underbrace{2\pi R_1 l}_{\text{surface du piston}}$$

$$= \left(-h \frac{\partial_y p}{2} + \eta \frac{U}{h} \right) 2\pi R_1 l$$

$$= \left(3\eta \frac{UR_1}{h^2} + \eta \frac{U}{h} \right) 2\pi R_1 l$$

$$= \underbrace{6\pi\eta U l \frac{R_1^2}{h^2}}_{\downarrow} + 2\pi\eta U l \frac{R_1}{h}$$

terme dominant si $h \ll R_1$

$$\approx 6\pi\eta U l \frac{R_1^2}{h^2}$$

Si on compare cette force visqueuse à la force de pression

$$\frac{F_v}{F_p} \approx \frac{6\pi\eta U l \frac{R_1^2}{h^2}}{6\pi\eta U l \frac{R_1^3}{h^3}} \approx \frac{h}{R_1} \ll 1$$

\Rightarrow la force visqueuse est négligeable devant la force de pression

4.3 Vortex de Burgers

(12)

$$1. \quad \vec{\nabla} \cdot \vec{u} = 0$$

$$\Leftrightarrow \frac{1}{r} \partial_r (r u_r) + \frac{1}{r} \partial_\theta u_\theta + \partial_z u_z = 0$$

Ici

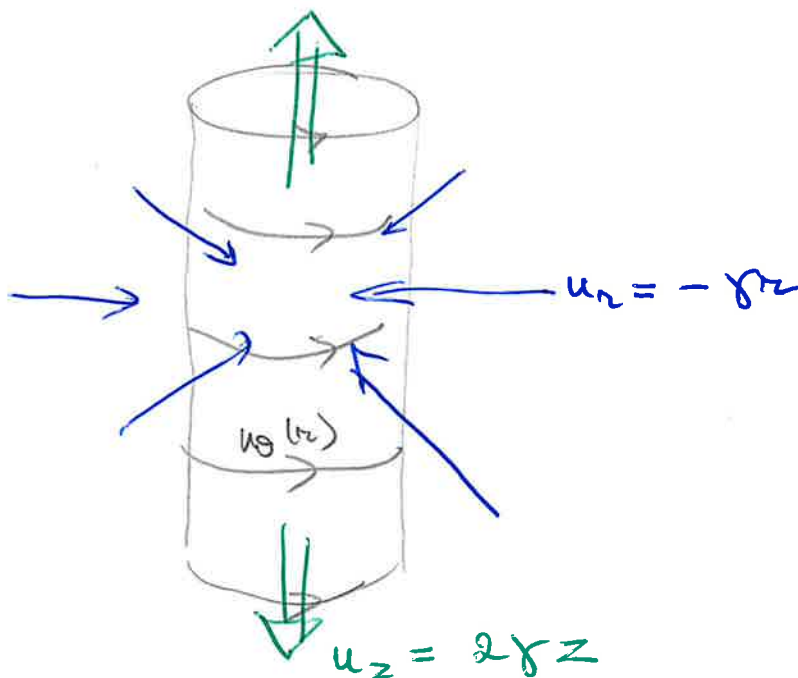
$$\frac{1}{r} \partial_r (-\gamma r^2) + 0 + \partial_z (\alpha \gamma z) = 0.$$

$$\Rightarrow -2\gamma + \alpha\gamma = 0$$

$$\Rightarrow \alpha = 2$$

2' L'écoulement est

$$\vec{u} = \gamma (-r \vec{e}_r + 2z \vec{e}_z) + u_\theta(r) \vec{e}_\theta$$



On étire le tourbillon selon z . Etirement de vorticit  = m canisme d'amplification

VORTEX de Burgers =  quilibre  tirement \leftrightarrow diffusion (viscosit )

2. $\vec{\omega} = \vec{\nabla} \times \vec{u} = \frac{1}{r} \begin{vmatrix} \vec{e}_r & r\vec{e}_\theta & \vec{e}_z \\ \partial_r & \partial_\theta & \partial_z \\ u_r & ru_\theta & u_z \end{vmatrix}$

$$= \frac{1}{r} \begin{vmatrix} \vec{e}_r & r\vec{e}_\theta & \vec{e}_z \\ \partial_r & 0 & \partial_z \\ -ru_\theta & ru_\theta & 2rz \end{vmatrix}$$

$$= \frac{1}{r} \partial_r (ru_\theta) \vec{e}_z$$

$\omega_z(r)$ en effet.

3. $\underbrace{\vec{\nabla} \times (g \partial_t \vec{u} + g(\vec{u} \cdot \vec{\nabla}) \vec{u})}_{g \partial_t (\vec{\nabla} \times \vec{u})} = \cancel{\vec{\nabla} \times (-\vec{\nabla} p)} + \underbrace{\eta \vec{\nabla} \times \nabla^2 \vec{u}}_{\eta \nabla^2 (\vec{\nabla} \times \vec{u})}$

$$\Rightarrow g \partial_t \vec{\omega} + g \vec{\nabla} \times ((\vec{u} \cdot \vec{\nabla}) \vec{u}) = \eta \nabla^2 \vec{\omega}$$

Avec l'identité $(\vec{u} \cdot \vec{\nabla}) \vec{u} = \vec{\omega} \times \vec{u} + \vec{\nabla} \left(\frac{\|\vec{u}\|^2}{2} \right)$

$$g \partial_t \vec{\omega} + g \vec{\nabla} \times (\vec{\omega} \times \vec{u}) + g \cancel{\vec{\nabla} \times \left(\vec{\nabla} \left(\frac{\|\vec{u}\|^2}{2} \right) \right)} = \eta \nabla^2 \vec{\omega}$$

On utilise par g et $\eta g = \nu$. On utilise la seconde identité.

$$\begin{aligned} \partial_t \vec{\omega} + \vec{\omega} \cdot \vec{\nabla} \vec{u} - \vec{u} \cdot \vec{\nabla} \vec{\omega} + (\vec{u} \cdot \vec{\nabla}) \vec{\omega} - (\vec{\omega} \cdot \vec{\nabla}) \vec{u} \\ = \eta \nabla^2 \vec{\omega} \end{aligned}$$

On trouve donc

(14)

$$\underbrace{\partial_t \vec{w} + (\vec{u} \cdot \vec{\nabla}) \vec{w}}_{\substack{\text{la vorticit } \\ \text{cr e car elle} \\ \text{est transport e} \\ \text{par l' coulement}}} = \underbrace{(\vec{w} \cdot \vec{\nabla}) \vec{u}}_{\substack{\text{car elle} \\ \text{est  tir e} \\ \text{par } \vec{u}}} + \underbrace{\nu \nabla^2 \vec{w}}_{\substack{\text{car elle} \\ \text{diffuse}}}$$

$\frac{1}{2}(\vec{\nabla} u + \vec{\nabla} u^T) \rightarrow$ tenseur de taux d' tirement

4. La composante selon z , pour $\vec{w} = w_z(r) \vec{e}_z$

$$\cancel{\partial_t w_z}_{\text{stat.}} + (u_r \partial_r + \cancel{\frac{u_\theta}{r} \partial_\theta}_{\substack{\text{axi} \\ \text{sym.}}} + \cancel{u_z \partial_z}_{\substack{\text{invar.} \\ \text{selon } z}}) w_z = (w_z \partial_z) u_z + \nu \nabla^2 w_z$$

Donne ici

$$-\gamma r \partial_r w_z = w_z (2\gamma) + \nu \left(\frac{1}{r} \partial_r (r \partial_r w_z) \right)$$

On introduit l' chelle de longueur

$$\lambda = \sqrt{\frac{\nu}{\gamma}} \quad \left(\sqrt{\frac{L^2/T}{1/T}} = L \text{ en fait} \right)$$

Si on multiplie l' quation par $\frac{r}{\nu}$ alors

$$\partial_r (r \partial_r w_z) + \frac{1}{\lambda^2} \left(\underbrace{2r w_z + r^2 \partial_r w_z}_{\partial_r (r^2 w_z)} \right) = 0$$

Ainsi l'eq. diff. se laisse écrire comme

$$\partial_r \left(r \partial_r w_z + \frac{r^2}{\lambda^2} w_z \right) = 0$$

Une intégration plus tard.

$$r \partial_r w_z + \frac{r^2}{\lambda^2} w_z = A$$

$$\Leftrightarrow \partial_r w_z + \frac{r}{\lambda^2} w_z = \frac{A}{r}$$

Il s'agit d'une ED ordinaire inhomogène.

→ Solution particulière associée à $\frac{A}{r}$

⇒ donc une solution singulière
à l'axe. Cf situation du
tourbillon de Lamb-Oseen
(p. 17).

On va donc écarter cette solution
 $A=0$.

→ Solution homogène = Vortex de Burgers.

On trouve la solution de

$$\partial_r w_z + \frac{r}{\lambda^2} w_z = 0$$

$$\frac{dw_2}{w_2} = - \frac{r dr}{\lambda^2}$$

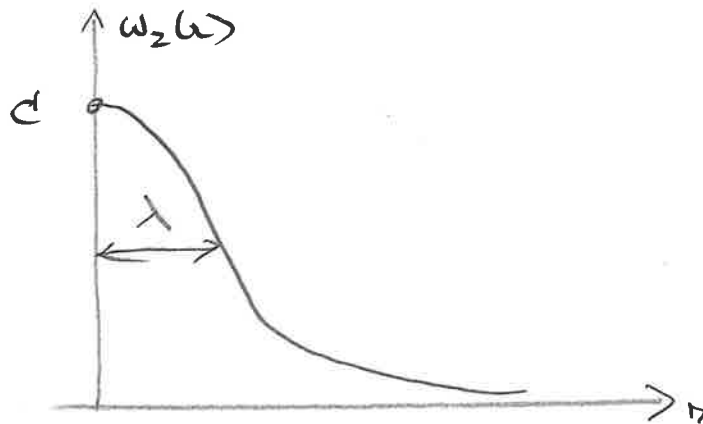
Intégrer

$$\ln w_2 = - \frac{r^2}{2\lambda^2} + \tilde{C}$$

On prend l'exponentielle $C = e^{\tilde{C}}$, donc

$$w_2 = C e^{-\frac{r^2}{2\lambda^2}}$$

On retrouve bien une vorticité de forme Gaussienne.



Le cœur du tourbillon est de largeur $\lambda = \sqrt{\frac{\nu}{\gamma}}$.
 Loin du tourbillon, la vorticité sera nulle
 mais pas u_θ . On verra que

$$u_\theta \xrightarrow{\frac{r}{\lambda} \text{ grand}} \frac{\Gamma}{2\pi r} \quad \text{vortex ponctuel (solution potentielle)}$$

5. On avait trouvé

(17)

$$w_z = \frac{1}{r} \partial_r (r u_\theta)$$

ici

$$\frac{1}{r} \partial_r (r u_\theta) = C e^{-\frac{r^2}{2\lambda^2}}$$

$$\Leftrightarrow \partial_r (r u_\theta) = C r e^{-\frac{r^2}{2\lambda^2}}$$

Donc

$$\begin{aligned} r u_\theta &= C \int_0^r \tilde{r} e^{-\frac{\tilde{r}^2}{2\lambda^2}} d\tilde{r} + \underbrace{D}_{\text{constante}} \\ &= C \left(-\frac{\lambda^2}{1} \right) \int_0^r e^{-\frac{\tilde{r}^2}{2\lambda^2}} d\left(-\frac{\tilde{r}^2}{2\lambda^2} \right) + D \end{aligned}$$

$$\Rightarrow u_\theta = C \left(-\frac{\lambda^2}{r} \right) e^{-\frac{r^2}{2\lambda^2}} + \frac{D}{r}$$

Au centre $u_\theta|_{r=0}$ par symétrie.

$$\begin{aligned} \lim_{R \rightarrow \varepsilon < 1} u_\theta|_R &= C \left(-\frac{\lambda^2}{\varepsilon} \right) \left(1 - \frac{\varepsilon^2}{2\lambda^2} \right) + \frac{D}{\varepsilon} \\ &= \frac{1}{\varepsilon} \left(C(-\lambda^2) + D \right) + o(\varepsilon) \end{aligned}$$

Pour ne pas avoir une singularité en $r=0$, Il faut donc (18)

$$+ \lambda^2 C = 0$$

Soit

$$u_\theta(r) = \frac{C}{r} \lambda^2 \left[1 - e^{-\frac{r^2}{2\lambda^2}} \right]$$

Le coeff C est arbitraire mais le plus souvent on l'écrit avec Γ_∞ , la circulation à l'infini. Sur un très grand contour.

$$\Gamma_\infty = \lim_{R \rightarrow \infty} \oint_{\mathcal{C}} \vec{u} \cdot d\vec{r}$$

$$= \lim_{R \rightarrow \infty} u_\theta \Big|_{r=R} 2\pi R$$

$$= \frac{C \lambda^2}{R} 2\pi R$$

$$\Rightarrow C = \frac{\Gamma_\infty}{2\pi \lambda^2} \Rightarrow \begin{cases} \omega_z = \frac{\Gamma_\infty}{2\pi \lambda^2} e^{-\frac{r^2}{2\lambda^2}} \\ u_\theta = \frac{\Gamma_\infty}{2\pi r} \left[1 - e^{-\frac{r^2}{2\lambda^2}} \right] \end{cases}$$